

3.5 Reacción de reformación de metano con ácido sulfhídrico

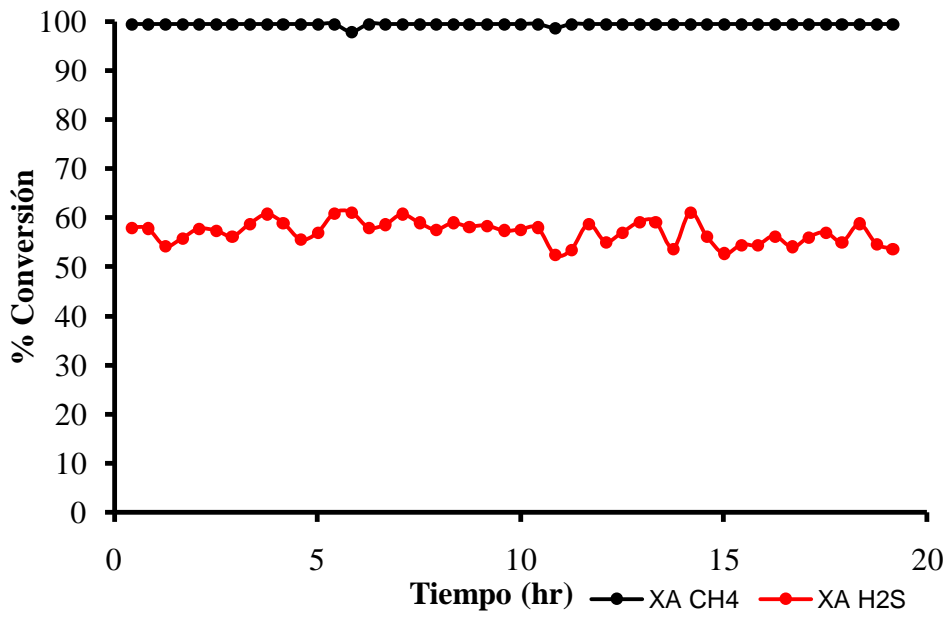


Figura 3.71 Gráfica de conversión de reactivos del material SBA-16/NTC/NiMo

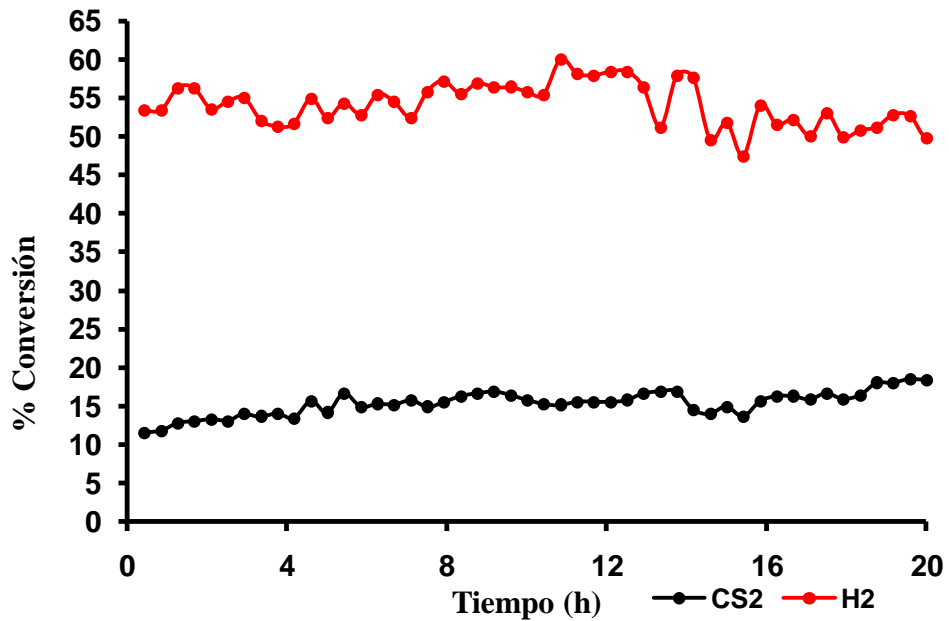


Figura 3.72 Gráfica de conversión a productos del material SBA-16/NTC/NiMo

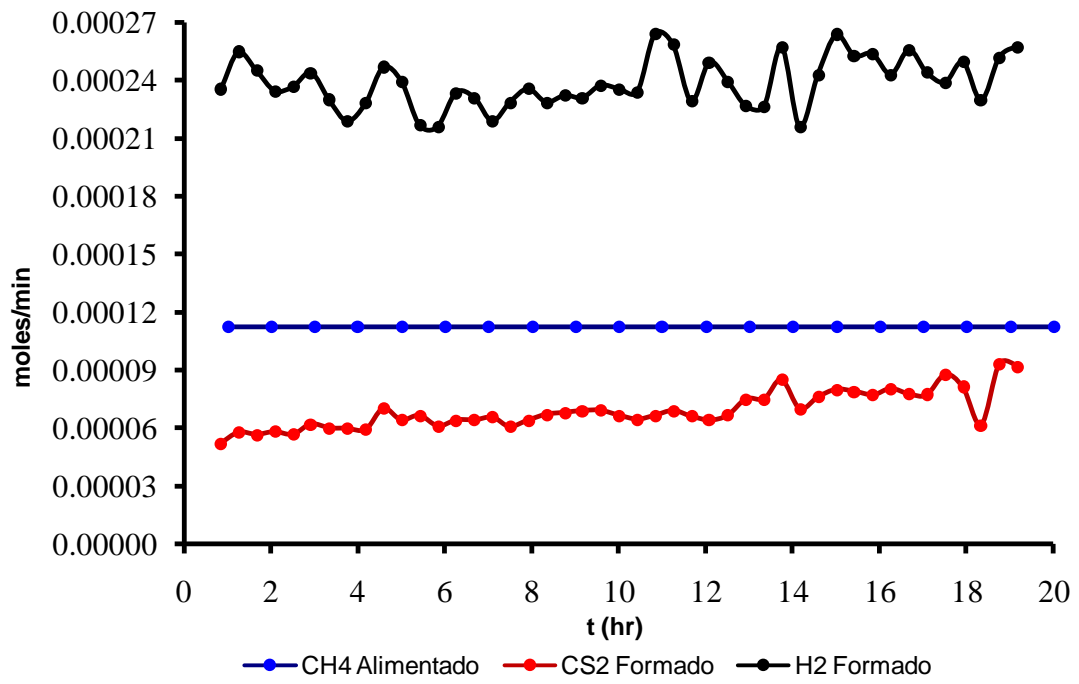


Figura 3.73 Gráfica de moles alimentados de reactivos limitante y productos para material SBA-16/NTC/NiMo